

Atommagok elektromágneses tulajdonságai és bomlása:

Atommagok: szondák kondenzált anyagokban

Kölcsönhatás: elektromágneses

ME, PAC, PAD, NO, NMR, NQR, ...

Mágneses dipólusnyomaték

Klasszikusan: $\underline{\mu} = \gamma \underline{I}$

↑
gyromágneses viszony

Kvantummechanikában:

$|I, M\rangle$ állapot

$$\mu := \langle I, I | \hat{\mu}_z | I, I \rangle$$

$$\hat{\mu}_z = \gamma \hat{I}_z$$

$$\langle I, I | \hat{I}_z | I, I \rangle = I \hbar$$

$$\boxed{\mu = \gamma \hbar I}$$

$$\gamma = g \frac{\mu_N}{\hbar}$$

$$\mu_N = \frac{e \hbar}{2 m_p} = 5.5 \cdot 10^{-27} \text{ Am}^2$$

(egy m_p tömegű és \hbar pályaimpulzusnyomatékú e ponttöltés klasszikus mágneses dipólusnyomatéka)

$$\left. \begin{array}{l} \mu: \mu_N \text{ egységben} \\ I: \hbar \quad \quad \quad \leftarrow \end{array} \right\} \Rightarrow g = \gamma$$

$$g_L(p) = 1$$

$$g_L(n) = 0$$

Dirac-elmélet:

$$g_S(p) = 2$$

$$g_S(n) = 0$$

Kisérleti adatok:

$$g_S(p) = 5.59$$

$$g_S(n) = -3.83$$

Mag: ha az impulzusnyomaték és a mágneses nyomaték egyetlen („világító”) nukleontól származnak (ps.-ptl. és ptl.-ps. magok), akkor

$$\hat{\underline{M}} = \underbrace{g_L \hat{\underline{L}}}_{\hat{\underline{M}}_L} + \underbrace{g_S \hat{\underline{S}}}_{\hat{\underline{M}}_S} \quad \hat{\underline{I}} = \hat{\underline{L}} + \hat{\underline{S}} \quad (S = 1/2)$$

Általánosított Landé-formula:

$$g = \frac{1}{2I(I+1)} \left\{ [I(I+1) + L(L+1) - S(S+1)] g_L + [I(I+1) + S(S+1) - L(L+1)] g_S \right\}$$

$$S = 1/2$$

$$I = L \pm 1/2$$

g-faktor egyrészeske-modellben (Schmidt-görbék):

$$g = g_L \pm \frac{g_S - g_L}{2L+1} \quad (I = L \pm 1/2)$$

	I	μ_{Schmidt}	μ_{Dirac}
Páratlan proton- számú magokra:	$L + \frac{1}{2}$	$I + 2.3$	$I + \frac{1}{2}$
	$L - \frac{1}{2}$	$I - 2.3 \frac{I}{I+1}$	$I - \frac{1}{2} \frac{I}{I+1}$
Páros proton- számú magokra:	$L + \frac{1}{2}$	-1.92	0
	$L - \frac{1}{2}$	$1.92 \frac{I}{I+1}$	0

A kísérleti értékek csaknem mind a Schmidt- és a Dirac-görbék között vannak.

Elektromos kvadrupólusnyomaték

Klasszikusan: Tenzor: $Q_{\alpha\beta} = \frac{1}{e} \int (3x_\alpha x_\beta - r^2 \delta_{\alpha\beta}) g(r) d^3r$

$$Q = \frac{1}{e} \int (3z^2 - r^2) g(r) d^3r = \frac{1}{e} \sqrt{\frac{16\pi}{5}} \int r^2 Y_2^0(\theta, \phi) g(r) d^3r$$

Ha $g(r)$ gömb-szimmetrikus, akkor $3z^2 \Rightarrow x^2 + y^2 + z^2 = r^2$

↓

$$Q = 0$$

Ha $g(r)$ nem gömb-szimmetrikus, akkor egy homogén töltéslétszerű forgási ellipszoiddal közelíthetjük:

$$Q = \frac{2}{5} Z (b^2 - a^2) = \frac{4}{5} Z R^2 \epsilon \quad Q < 0 \text{ diszkosz (oblate)}$$

$$Q > 0 \text{ szivar (prolate)}$$

$$R = \frac{a+b}{2}$$

$$\epsilon = \frac{b-a}{2}$$

$$|\epsilon| \ll 0.1$$

Kivétel: hasadási izomerek ($\epsilon \approx 1$)

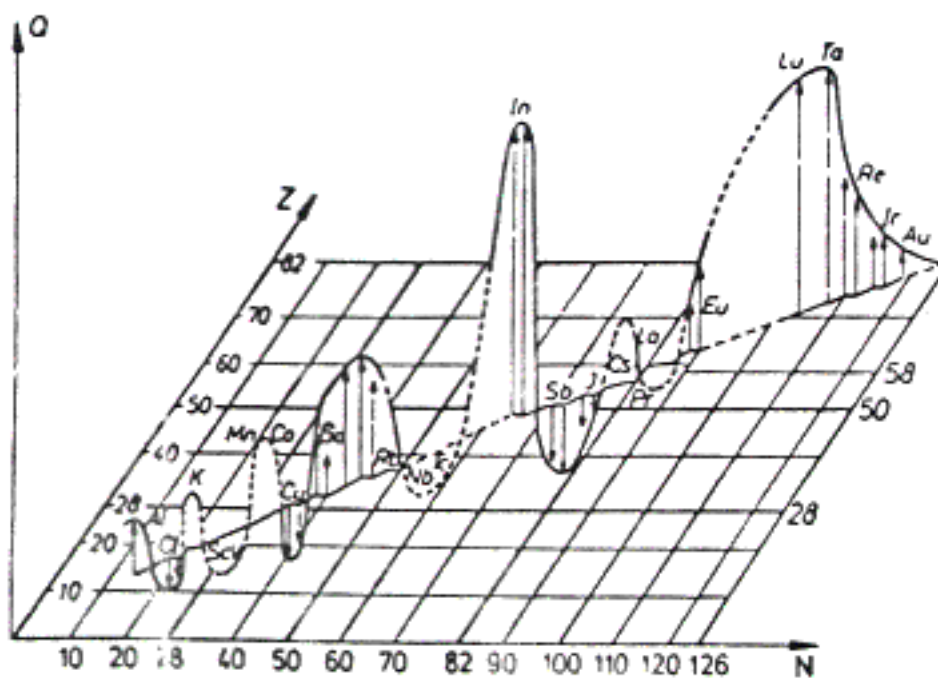


Abb. 2.3: Beobachtete Werte des Quadrupolmoments Q als Funktion der Kernladungszahl Z und der Neutronenzahl N . (Alle Werte bis zum In sind mit dem Faktor 10 multipliziert. Aus (KOP 56))

Atommagok elektromágneses bomlása

	$I_i \quad M_i \quad \Pi_i$ $I_f \quad M_f \quad \Pi_f$	$E_i = E_f + \hbar\omega$ $\underline{I}_i = \underline{I}_f + \underline{l}$ $\Pi_i = \Pi_f \cdot \pi$
---	--	---

Keressük a Maxwell-egyenletek adott impulzusnyomatékhöz és adott paritáshoz tartozó megoldásait (multipól-sugárzás).

Forrásmentes térben:

$$\underline{\nabla} \times \underline{E} = - \frac{\partial \underline{B}}{\partial t}$$

$$\underline{\nabla} \times \underline{B} = \frac{1}{c^2} \frac{\partial \underline{E}}{\partial t}$$

$$\underline{\nabla} \cdot \underline{E} = 0$$

$$\underline{\nabla} \cdot \underline{B} = 0$$

$$\left. \begin{aligned} \underline{B}_e^m(\underline{r}, t) &= f_e(kr) \underline{L} Y_l^m(\theta, \phi) e^{i\omega t} \\ \underline{E}_e^m(\underline{r}, t) &= i \frac{c}{k} \underline{\nabla} \times \underline{B}_e^m(\underline{r}, t) \end{aligned} \right\} \begin{aligned} \pi &= (-1)^l \\ (E) &\text{ elektromos} \\ 2^l &\text{-pólus-sugárzás} \end{aligned}$$

$$\left. \begin{aligned} \underline{E}_m^m(\underline{r}, t) &= f_m(kr) \underline{L} Y_l^m(\theta, \phi) e^{i\omega t} \\ \underline{B}_m^m(\underline{r}, t) &= -i \frac{1}{kc} \underline{\nabla} \times \underline{E}_m^m(\underline{r}, t) \end{aligned} \right\} \begin{aligned} \pi &= (-1)^{l+1} \\ (M) &\text{ mágneses} \\ 2^l &\text{-pólus-sugárzás} \end{aligned}$$

Impulzusnyomaték: $\sqrt{l(l+1)} \hbar$
 z -komponens: $m \hbar$

$$\omega = kc$$

$$\underline{L} = i(\underline{r} \times \underline{\nabla})$$

$f_e(kr)$: szférikus Bessel-függvény

Vektor-gömbfüggvények:

$$\underline{X}_l^m(\theta, \phi) = \frac{1}{\sqrt{l(l+1)}} \underline{L} Y_l^m(\theta, \phi)$$

Kiválasztási szabály az impulzusnyomatékokra (háromszög-egyenletrendség):

$$l = I_i + I_f, \quad I_i + I_f - 1, \quad \dots, \quad |I_i - I_f|$$

Tab. 2.1: Multipolordnungen bei γ -Übergängen

Drehimpuls- änderung ΔI		0 kein $0 \rightarrow 0$	1	2	3
Paritäts- wechsel	ja	E1 (M2)	E1 (M2)	M2 E3	E3 (M4)
	nein	M1 E2	M1 E2	E2 (M3)	M3 E4

Szögeloszlás

Energia-áramsűrűség (Poynting-vektor):

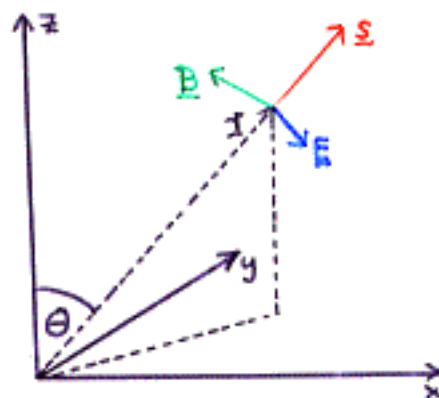
$$\underline{S} = \frac{1}{\mu_0} (\underline{E} \times \underline{B})$$

A hullámzónában:

$$\epsilon_0 |\underline{E}|^2 = \frac{1}{\mu_0} |\underline{B}|^2$$



$$|\underline{E}| = c |\underline{B}|$$



$$|\underline{S}| = c \epsilon_0 |\underline{E}|^2 = \frac{c}{\mu_0} |\underline{B}|^2$$

Mℓ-sugárzásra: $|\underline{S}| = c \epsilon_0 |\underline{E}|^2 \sim |\underline{E} Y_e^m(\theta, \phi)|^2$

Eℓ-sugárzásra: $|\underline{S}| = \frac{c}{\mu_0} |\underline{B}|^2 \sim |\underline{E} Y_e^m(\theta, \phi)|^2$

Normált szögeloszlás:

$$F_{em}(\theta) = \frac{|\underline{E} Y_e^m(\theta, \phi)|^2}{\sum_m |\underline{E} Y_e^m(\theta, \phi)|^2}$$

Tulajdonságok:

a) $\sum_m F_{em}(\theta) = 1$

izotrópia az m-összegre

b) $F_{em}(\theta) = F_{e-m}(\theta)$

szimmetria m-ben

c) $F_{em}(\theta) = F_{em}(\pi - \theta)$

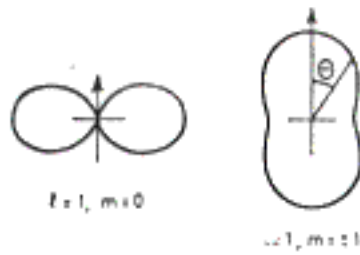
tükörszimmetria az x-y síkra

d) $F_{em}(\theta) = 0$, ha $m \neq \pm 1$

Tab. 2.2: Winkelverteilungsfunktionen $F_{lm}(\theta)$ für Dipol- und Quadrupolstrahlung

	$m = 0$	$m = \pm 1$	$m = \pm 2$
$l = 1$ (Dipol)	$\frac{1}{2} \sin^2 \theta$	$\frac{1}{4} (1 + \cos^2 \theta)$	---
$l = 2$ (Quadrupol)	$\frac{3}{2} \sin^2 \theta \cos^2 \theta$	$\frac{1}{4} (1 - 3 \cos^2 \theta + 4 \cos^4 \theta)$	$\frac{1}{4} (1 - \cos^4 \theta)$

Dipol



Quadrupol

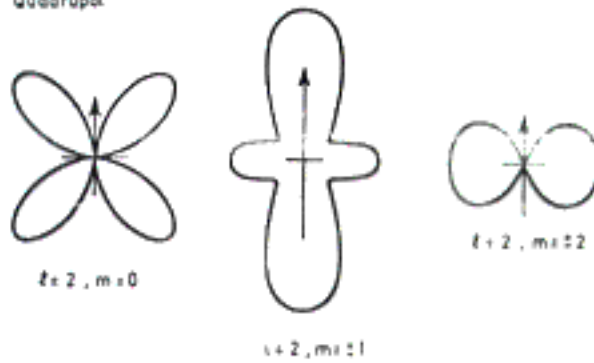


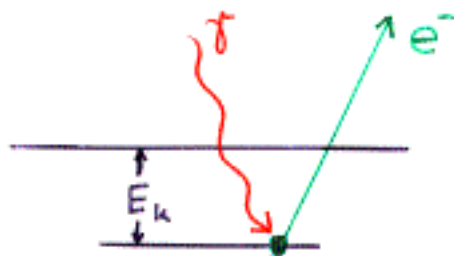
Abb. 2.6: Ausstrahlcharakteristik für reine Dipol- und Quadrupolstrahlung

A γ -sugárzás kimutatása

Sugárzás és anyag kölcsönhatása

- fotoeffektus
- Compton-effektus
- (- párkeltés)

Fotoeffektus



$$E_e = E_\gamma - E_k$$

$$E_{\text{det}} = E_e + E_k = E_\gamma$$



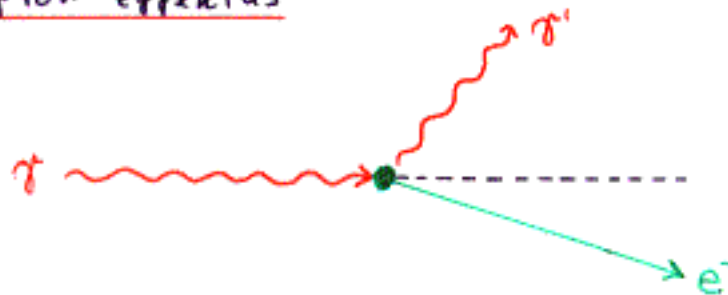
kisenergiájú röntgen-
fotonok és Auger-elektronok

Hatáskeresztmetszet:

$$\sigma_{\text{foto}} \sim E^{-7/2} Z^5$$

Alacsony energián (fény, UV, lágy röntgen, lágy γ) és magas rendszámú (pl. I, Pb) jelentős.

Compton-effektus



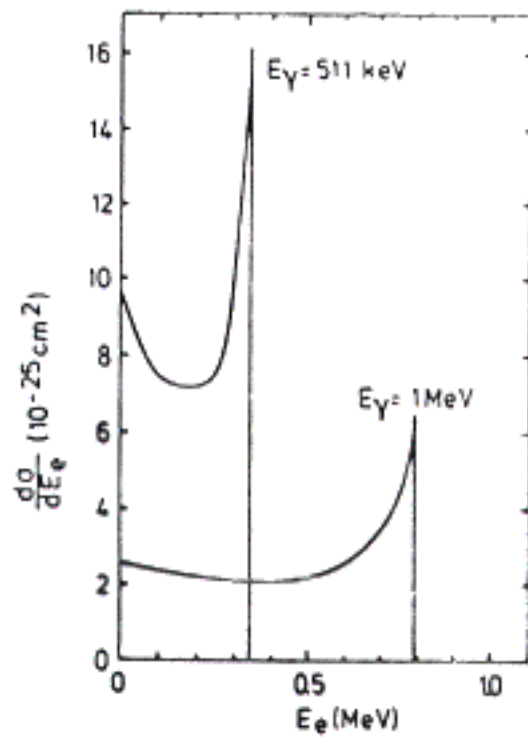


Abb. 2.8:
Energieverteilung der Compton-Elektronen für zwei verschiedene γ -Energien

$$E_e = E_\gamma \left[1 - \frac{1}{1 + \frac{E_\gamma}{m_e c^2} (1 - \cos \theta)} \right]$$

A meglökött elektron

minimális energiája: $E_e^{\min} = 0$ ($\theta = 0$)

maximális energiája:

$$E_e^{\max} = E_\gamma \frac{1}{1 + \frac{m_e c^2}{2 E_\gamma}}$$

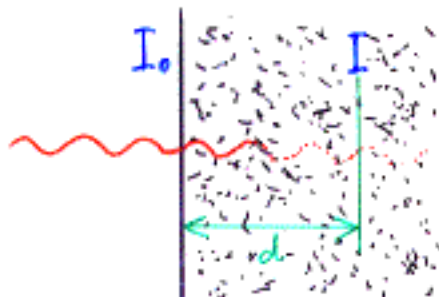
A Compton-elektronok energiaeloszlása

Hatáskeresztmetszet:

$$\sigma_c \sim E_\gamma^{-1} Z$$

Közepes (100 keV... 1 MeV) energián és alacsony rendszámnál jelentős.

Abszorpciós együttható



$$I = I_0 e^{-\mu/d}$$

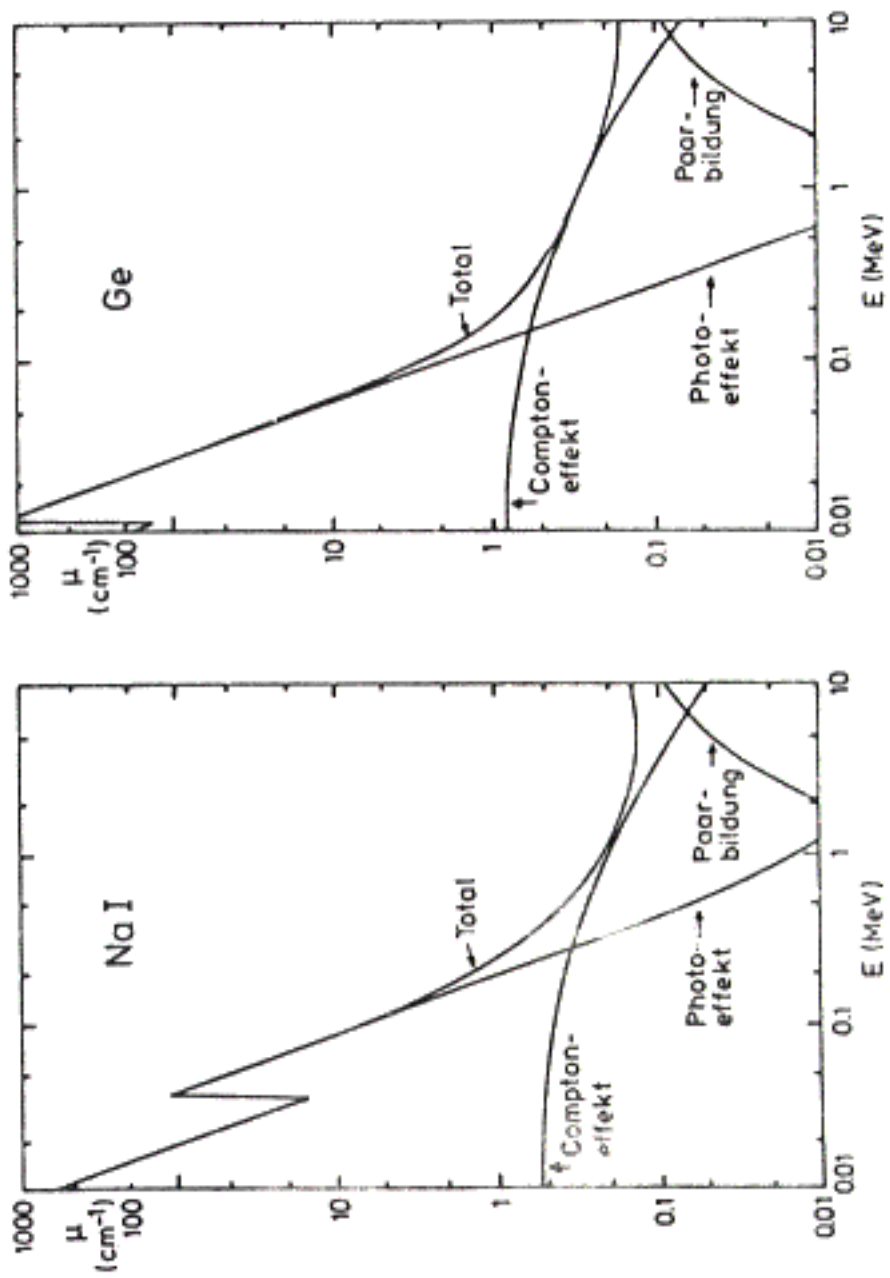


Abb. 2.9: Absorptionskoeffizienten für NaI und Ge

Anzahl der radiolysierten
Atome $\sim E_T$

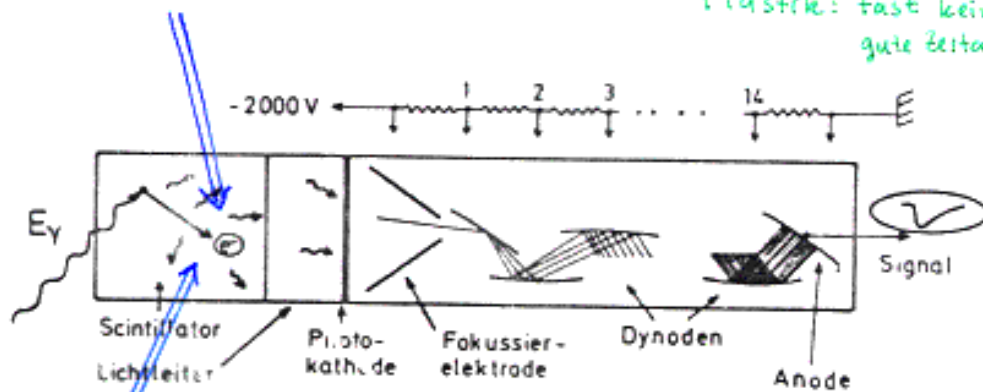


Abb. 2.10: Schematischer Aufbau eines Szintillationsdetektors

A radiolizált (ionizált vagy gerjesztett)
atomok száma $\sim E_T$

Szintillátorok:

NaI(Tl): közelebbi energiafelbontás
($\sim 2 \dots 20\%$); rossz időfelbontás ($> 2 \text{ ns}$)

Plasztik: Fast keine Energieauflösung;
gute Zeitauflösung ($\approx 200 \text{ ps}$)

Szintillátorok:

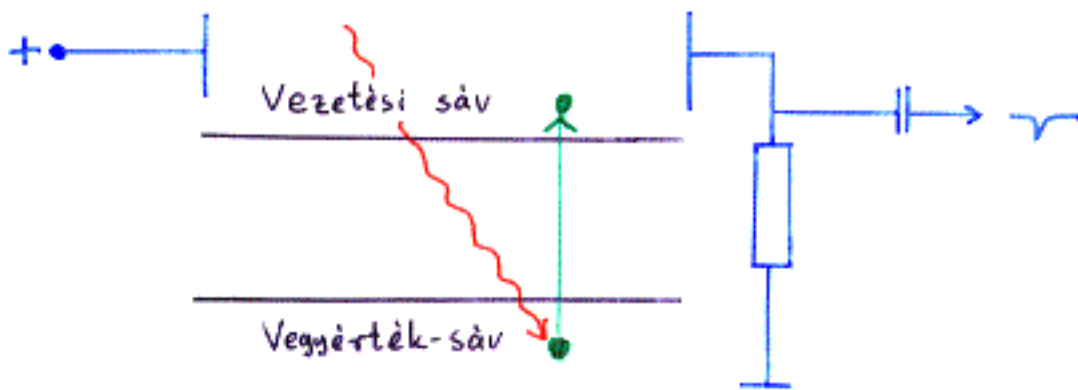
NaI(Tl): közepes ($\sim 2 \dots 20\%$) energia-

∴ felbontás, gyenge ($> 2 \text{ ns}$)

∴ időfelbontás

Plasztik: Energiafelbontás alig van,
jó ($\approx 200 \text{ ps}$) időfelbontás

Intrinsic Ge-detektor (i-Ge-detektor)



Nagyon tiszta Ge-kristályból készül (szennyezőkoncentráció $\lesssim 10^{-10}$). Csak kis méretben állítható elő.

Ge (Li)-detektor (p-i-n-dióda)

Általában hengeres elrendezésű p-i-n-dióda, nagy intrinsic tartalommal. Nagy térfogat ($\lesssim 100 \text{ cm}^3$).

A Ge-detektorok energiatartózkodása igen jó ($\sim 2\text{...}3\%$); időfelbontásuk gyenge ($\sim 5 \text{ ns}$).

Lavina-fotodióda (APD)

Záróirányban előfeszített p-n-dióda. A kiürített rétegben a sugárzás hatására lavina jön létre (hasonlóan a Zener-diódához). Energiatartózkodása gyakorlatilag nincs. Időfelbontása igen jó ($\lesssim 500 \text{ ps}$).

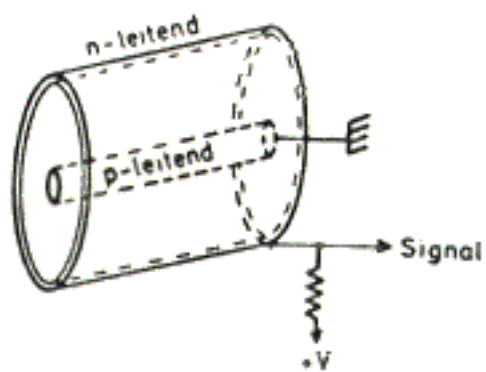


Abb. 2.12:
Aufbau eines Ge(Li)-Detektors

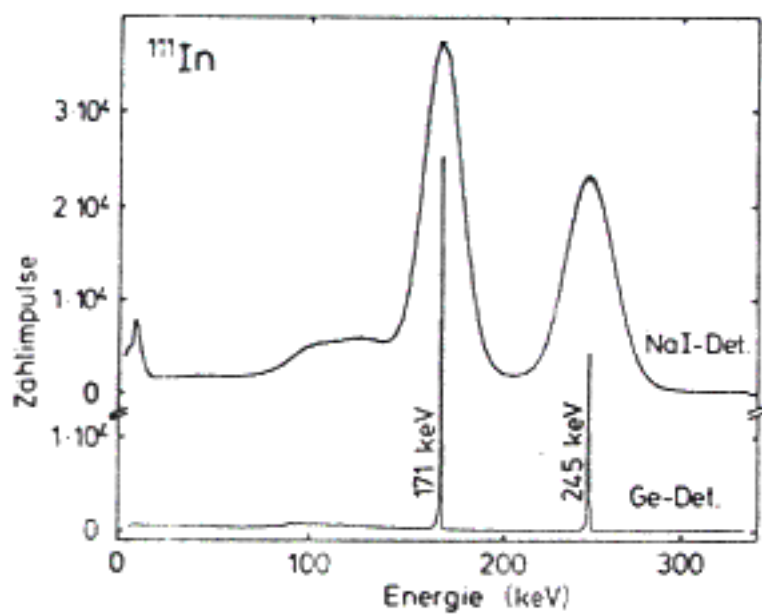
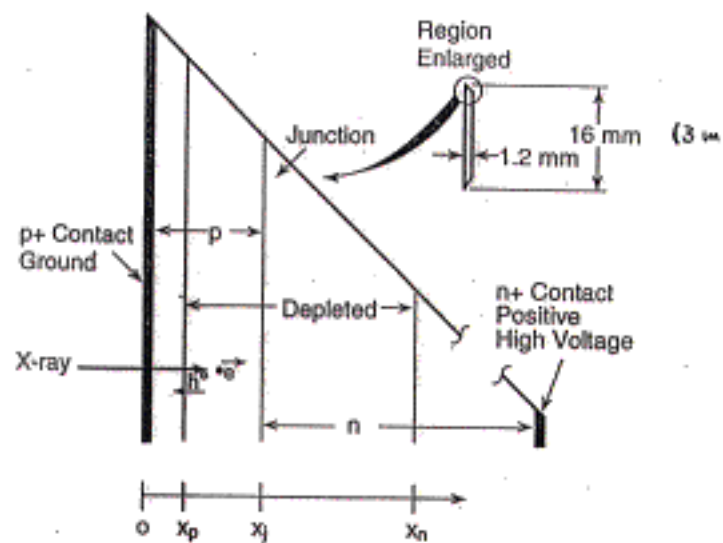
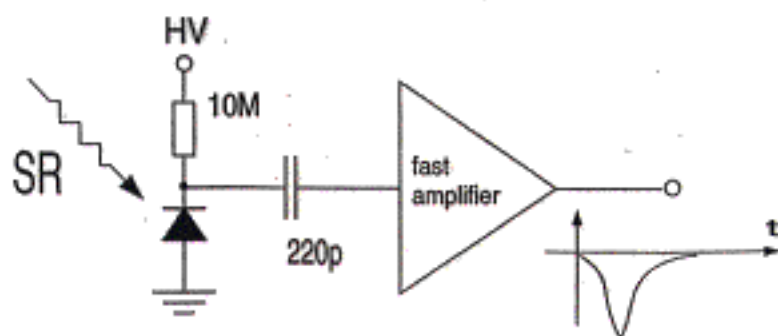


Abb. 2.11: Energiespektrum einer ^{111}In Quelle aufgenommen mit einem NaI(Tl)- (oben) und einem i-Ge-Detektor (unten)

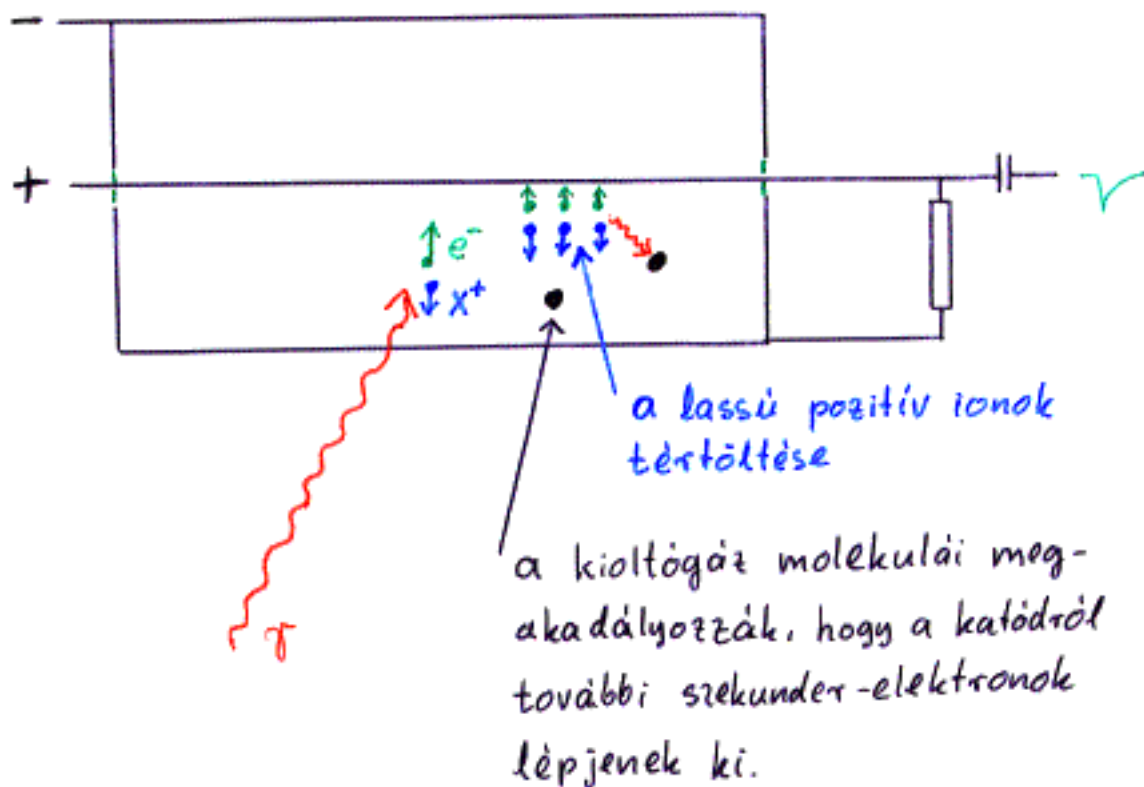
APD: Avelanche Photo Diode



APD operational setup:



Proporcionális számláló



Gázerosítés: $10^2 \dots 10^4$

Csak alacsony energiájú gamma-sugárzás ($\sim 10 \text{ keV}$) detektálására alkalmas. Kivétel: abszorpciós él (pl. Kr a 14.4 keV -os fotonokra). Ilyenkor viszont kiszökési csúcs is megjelenik.

Energiafelbontása jó ($\sim 10\%$), időfelbontása nagyon rossz ($\sim 1 \mu\text{s}$).

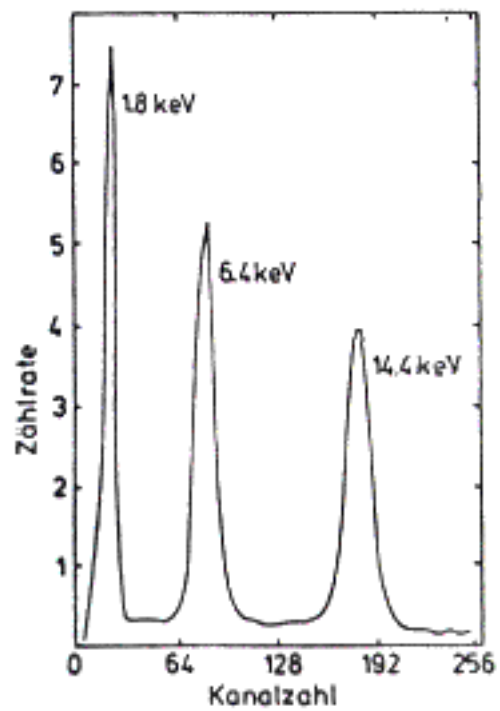


Abb. 4.14:

Impulshöhenspektrum einer ^{57}Co Mößbauer-Quelle aufgenommen mit einem Proportionalzählrohr, dessen Zählgas aus 97 % Krypton und 3 % CO_2 besteht

- Impulzusnyomatékok csatolása, szférikus tenzorok

$$\underline{j}_3 = \underline{j}_1 + \underline{j}_2$$

$$|j_3, m_3\rangle = \sum_{\substack{m_1, m_2 \\ m_3 = m_1 + m_2}} (j_1, j_2, m_1, m_2 | j_3, m_3) |j_1, m_1\rangle |j_2, m_2\rangle$$

\uparrow
 $C(j_1, j_2, j_3; m_1, m_2, m_3) \cdot (-1)^{j_1 + m_1}$
 Clebsch-Gordan-együtthatók

j_1, j_2, j_3 : háromszög-egyenlőtlenség

Wigner-féle $3j$ -szimbólumok:

$$\begin{pmatrix} j_1 & j_2 & j_3 \\ m_1 & m_2 & m_3 \end{pmatrix} := (-1)^{j_1 - j_2 - m_3} \frac{1}{\sqrt{2j_3 + 1}} (j_1, j_2, m_1, m_2 | j_3, -m_3)$$

A $3j$ -szimbólumok szimmetria-tulajdonságai:

$$\begin{pmatrix} j_1 & j_2 & j_3 \\ m_1 & m_2 & m_3 \end{pmatrix} = \begin{pmatrix} j_2 & j_3 & j_1 \\ m_2 & m_3 & m_1 \end{pmatrix} = \begin{pmatrix} j_3 & j_1 & j_2 \\ m_3 & m_1 & m_2 \end{pmatrix}$$

$$\begin{pmatrix} j_2 & j_1 & j_3 \\ m_2 & m_1 & m_3 \end{pmatrix} = (-1)^{j_1 + j_2 + j_3} \begin{pmatrix} j_1 & j_2 & j_3 \\ m_1 & m_2 & m_3 \end{pmatrix}$$

$$\begin{pmatrix} j_1 & j_2 & j_3 \\ -m_1 & -m_2 & -m_3 \end{pmatrix} = (-1)^{j_1 + j_2 + j_3} \begin{pmatrix} j_1 & j_2 & j_3 \\ m_1 & m_2 & m_3 \end{pmatrix}$$

Speciális esetek:

$$\begin{pmatrix} j & j & 0 \\ m & -m & 0 \end{pmatrix} = (-1)^{j-m} \frac{1}{\sqrt{2j+1}}$$

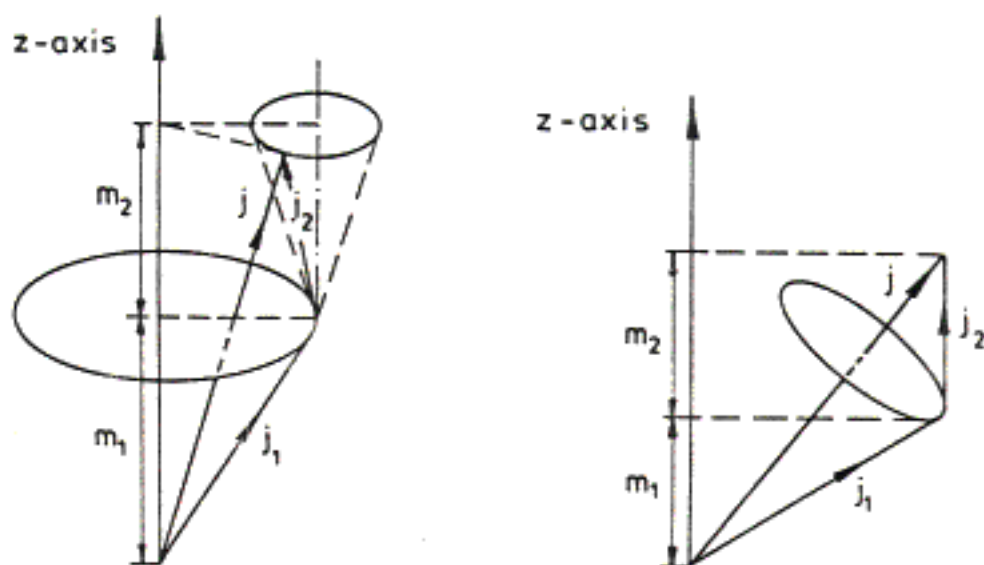


Fig. 1.5. Graphical representation of two angular momenta j_1 and j_2 , shown as vectors that make a precession around the z -axis with constant angular velocity (vector model). Using the addition to a momentum $j = j_1 + j_2$, the probability of obtaining a given value for the length j , given fixed m_1 and m_2 values, is given by the Clebsch-Gordan coefficient squared $|(j_1 m_1, j_2 m_2 | j m \rangle|^2$. If the two vectors j_1 and j_2 are coupled to form the total angular momentum j (which is a constant of motion), the two vectors will make a precession around the direction of j . For fixed value of the length of j and projection m , the projections m_1 and m_2 can be obtained again as a probability distribution given by the Clebsch-Gordan coefficient squared $|\langle j_1 m_1, j_2 m_2 | j m \rangle|^2$.

$$\begin{pmatrix} j_1 & j_2 & j_3 \\ 0 & 0 & 0 \end{pmatrix} = 0, \text{ ha } j_1 + j_2 + j_3 = \text{páratlan}$$

Ha $j_1 + j_2 + j_3 = 2p = \text{páros}$, akkor

$$\begin{pmatrix} j_1 & j_2 & j_3 \\ 0 & 0 & 0 \end{pmatrix} = (-1)^p \sqrt{\frac{(2p-2j_1)!(2p-2j_2)!(2p-2j_3)!}{(2p+1)!}} \times$$

$$\times \frac{p!}{(p-j_1)!(p-j_2)!(p-j_3)!}$$

Másodrendű tenzor felbontása

$$T_{ik} = \overset{\text{skalár}}{\downarrow} I_{ik} + \underbrace{\overset{\text{antiszimmetrikus}}{\downarrow} A_{ik} + \overset{\text{szimmetrikus}}{\downarrow} S_{ik}}_{\text{nyom-mentes}}$$

$$I_{ik} = \frac{1}{3} \text{Tr}(T_{ik}) \delta_{ik} \quad \text{skalár (1)}$$

$$A_{ik} = \frac{1}{2} (T_{ik} - T_{ki}) = -A_{ki} \quad \text{vektor (3)}$$

$$S_{ik} = \frac{1}{2} (T_{ik} + T_{ki}) - \frac{1}{3} \text{Tr}(T_{ik}) \delta_{ik} \quad \text{tenzor (5)}$$

Az τ vektor szférikus komponensei:

$$\tau_+ = -\frac{1}{\sqrt{2}} (x + iy) = -\frac{1}{\sqrt{2}} r \sin \theta e^{i\phi} = \sqrt{\frac{4\pi}{3}} r Y_1^1(\theta, \phi)$$

$$\tau_0 = z = r \cos \theta = \sqrt{\frac{4\pi}{3}} r Y_1^0(\theta, \phi)$$

$$\tau_- = \frac{1}{\sqrt{2}} (x - iy) = \frac{1}{\sqrt{2}} r \sin \theta e^{-i\phi} = \sqrt{\frac{4\pi}{3}} r Y_1^{-1}(\theta, \phi)$$

↑
1. rendű szférikus tenzor

$T(l, m)$ l -ed rendű szférikus tenzor, ha $T(l, m)$ elemei forgásoknál úgy transzformálódnak, mint az $Y_l^m(\theta, \phi)$ gömbfüggvények.

$$T(l, m) = \sum_{\substack{m_1, m_2 \\ m_1 + m_2 = m}} (l_1, l_2, m_1, m_2 | l, m) T_1(l_1, m_1) T_2(l_2, m_2)$$

Skalárszorzat:

$$T(0, 0) = \sum_{m_1 + m_2 = 0} (1, 1, m_1, m_2 | 0, 0) T_1(1, m_1) T_2(1, m_2)$$

Vektorszorzat:

$$T(1, m) = \sum_{m_1 + m_2 = m} (1, 1, m_1, m_2 | 1, m) T_1(1, m_1) T_2(1, m_2)$$

Tenzorszorzat:

$$T(2, m) = \sum_{m_1 + m_2 = m} (1, 1, m_1, m_2 | 2, m) T_1(1, m_1) T_2(1, m_2)$$

Wigner - Eckart - tétel

$\hat{T}(l, m)$: l -ed rendű szférikus tenzoroperátor

$\hat{T}(l, m)$ mátrixelemei:

$$\langle I', M' | \hat{T}(l, m) | I, M \rangle = (-1)^{I'-M'} \underbrace{\begin{pmatrix} I' & l & I \\ -M' & m & M \end{pmatrix}}_{C(I', l, I; -M', m, M)} \underbrace{\langle I' || T(l) || I \rangle}_{\text{redukált mátrixelem}}$$

redukált mátrixelem
nem függ M, M' -től!

Az atommag elektromos tulajdonságai

Átlagos négyzetes mag sugár

$$\langle r^2 \rangle := \langle I, M | r^2 | I, M \rangle$$

$$\begin{aligned} \langle r^2 \rangle &= (-1)^{I-M} \underbrace{\begin{pmatrix} I & 0 & I \\ -M & 0 & M \end{pmatrix}}_{\substack{\uparrow \\ \text{0-adrendű sferikus tenzor}}} \langle I || r^2 || I \rangle = \frac{\langle I || r^2 || I \rangle}{\sqrt{2I-1}} \\ &= \begin{pmatrix} I & I & 0 \\ M & -M & 0 \end{pmatrix} = (-1)^{I-M} \frac{1}{\sqrt{2I-1}} \quad \downarrow \\ &\quad \text{M-től független (trivialis)} \end{aligned}$$

Töltéssűrűség: $g(r)$

$$\langle r^2 \rangle = \frac{1}{Ze} \int r^2 g(r) d^3r$$

Közelítés: a mag homogén töltött gömb:

$$g = \frac{3Ze}{4\pi R^3}$$

\uparrow mag sugár

$$\langle r^2 \rangle = \frac{3}{5} R^2$$

R a magállapottól függ: alapállapotban R_a , gerjesztett állapotban R_g

$$\langle r^2 \rangle_g - \langle r^2 \rangle_a = \frac{3}{5} (R_g^2 - R_a^2) = \frac{6}{5} R^2 \frac{\delta R}{R}$$

ahol

$$R = \frac{R_a + R_g}{2} \quad \text{és} \quad \delta R = R_g - R_a$$

$$\delta R / R \approx 10^{-4}$$

^{119}Sn , ^{154}Eu :

$$\delta R > 0$$

^{57}Fe :

$$\delta R < 0$$

Elektromos kvadrupólus-nyomaték

Kvantummechanikai kvadrupólus-nyomaték-tenzor:

$$\hat{Q}_{2m} := \sqrt{\frac{16\pi}{5}} r^2 Y_2^m(\theta, \phi)$$

(másodrendű szférikus tenzoroperátor)

Várható értéke az $|I, M\rangle$ állapotban:

$$\langle I, M | \hat{Q}_{2m} | I, M \rangle = (-1)^{I-M} \underbrace{\begin{pmatrix} I & 2 & I \\ -M & m & M \end{pmatrix}}_{\text{0, ha } I < 1, \text{ vagyis } I=0 \text{ és } I=1/2 \text{ esetén}} \langle I || Q_2 || I \rangle$$

0, ha $I < 1$, vagyis $I=0$ és $I=1/2$ esetén

Klasszikus kvadrupólus-nyomaték:

$$Q = \frac{1}{e} \sqrt{\frac{16\pi}{5}} \int r^2 Y_2^0 g(r) d^3r$$

Kvantummechanikában:

$$Q := \langle I, I | \hat{Q}_{20} | I, I \rangle = \begin{pmatrix} I & 2 & I \\ -I & 0 & I \end{pmatrix} \langle I || Q_2 || I \rangle$$

Q -val a többi komponens várható értéke is kifejezhető, a mag bármely állapotában:

$$\langle I, M | \hat{Q}_{2m} | I, M \rangle = (-1)^{I-M} \frac{\begin{pmatrix} I & 2 & I \\ -M & m & M \end{pmatrix}}{\begin{pmatrix} I & 2 & I \\ -I & 0 & I \end{pmatrix}} Q$$

0, ha $-M+m+M \neq 0$,
vagyis ha $m \neq 0$